

## Спектральная плотность и плотность состояний сверхпроводника в точно решаемой модели псевдощелевого состояния

© Э.З. Кучинский

Институт электрофизики Уральского отделения Российской академии наук,  
620016 Екатеринбург, Россия

E-mail: kuchinsk@ier.uran.ru

(Поступила в Редакцию 21 октября 2002 г.)

Изучены особенности электронной спектральной плотности и плотности состояний сверхпроводника в простой, точно решаемой модели псевдощелевого состояния, вызванного флуктуациями диэлектрического ближнего порядка, основанной на модели поверхности Ферми с горячими участками. Рассмотрение проведено для произвольных корреляционных длин ближнего порядка  $\xi_{\text{сог}}$ . Показано, что учет эффектов несамоусредняемости сверхпроводящего параметра порядка по случайному полю диэлектрических флуктуаций приводит к существенному изменению спектральной плотности и плотности состояний. Сверхпроводящие особенности у этих характеристик сохраняются в широкой области температур выше температуры  $T_c$  однородного во всем образце сверхпроводящего перехода.

Работа выполнена при частичной поддержке Российского фонда фундаментальных исследований (грант № 02-02-16031), CRDF (грант № REC-005) и Программы фундаментальных исследований Президиума РАН „Квантовая макрофизика“, а также в рамках проекта Минпромнауки „Исследование коллективных и квантовых эффектов в конденсированных средах“ и договора № 7/02 с ИФМ УрО РАН.

Псевдощелевое состояние [1,2], наблюдаемое в широкой области фазовой диаграммы ВТСП на основе оксидов меди, приводит к многочисленным аномалиям их свойств как в нормальном, так и в сверхпроводящем состоянии. Существует два основных теоретических сценария для объяснения этих аномалий. Один из них основан на модели формирования куперовских пар выше температуры сверхпроводящего перехода [3]. Другой, с нашей точки зрения более предпочтительный, предполагает, что псевдощелевое состояние обусловлено сильным рассеянием носителей тока на развитых флуктуациях ближнего порядка „диэлектрического“ типа (антиферромагнитного (AFM) или волн зарядовой плотности (CDW)) [2]. Это рассеяние приводит к существенной „неферми-жидкостной“ перестройке электронного спектра в определенных областях импульсного пространства вблизи поверхности Ферми, около так называемых горячих точек или вблизи горячих (плоских) участков на этой поверхности [2].

В большинстве теоретических работ исследуется влияние псевдощели на свойства системы в нормальном состоянии, и лишь незначительная их часть рассматривает особенности сверхпроводимости в псевдощелевом состоянии [4–7]. В частности, в [5] была рассмотрена сверхпроводимость в простой, точно решаемой модели псевдощелевого состояния, основанной на модели поверхности Ферми двумерной системы с горячими участками [4]. При этом использовалось точное решение для псевдощели, полученное ранее [8] для одномерного случая, в пределе очень больших корреляционных длин флуктуаций диэлектрического ближнего порядка. Использование в [7] точно решаемой модели псевдощели, предложенной в работе Бартоша и Копица [9], позволило обобщить результаты [5] на случай произвольных корреляционных длин. В этих работах было показано, что

сверхпроводящая щель, усредненная по флуктуациям ближнего порядка, вообще говоря, отлична от нуля и в области температур, превышающих среднеполевую температуру сверхпроводящего перехода  $T_c$ , соответствующую, согласно [5], возникновению однородного сверхпроводящего состояния во всем образце. На этом основании в [5,7] был сделан вывод о том, что в области температур  $T > T_c$  в системе возникают сверхпроводящие „капли“. Этот эффект связывался в [5] с отсутствием самоусредняемости сверхпроводящего параметра порядка (щели) в условиях, когда корреляционная длина флуктуаций ближнего порядка  $\xi_{\text{сог}}$  превышает длину когерентности теории сверхпроводимости  $\xi_0$  (размер куперовских пар). Однако в [7] было показано отсутствие полной самоусредняемости сверхпроводящей щели даже при  $\xi_{\text{сог}} < \xi_0$ , что противоречит ожиданиям стандартного подхода [2,6].

Отсутствие самоусредняемости, проявляющееся в возникновении сильных флуктуаций щели, способно сильно изменить многие физические свойства в сверхпроводящей фазе. В частности, сверхпроводящий отклик может проявляться и при температурах выше  $T_c$ . Подобное поведение демонстрируют, например, спектральная плотность и плотность состояний в пределе очень больших корреляционных длин диэлектрического ближнего порядка [5]. Аномалии в поведении спектральной плотности и плотности состояний в сверхпроводящей фазе наблюдаются и экспериментально [1,2].

Целью настоящей работы является исследование поведения спектральной плотности и плотности состояний сверхпроводника с учетом эффектов несамоусредняемости сверхпроводящей щели в рамках упомянутой выше простой модели псевдощелевого состояния, развитой для описания сверхпроводимости в [7].

## 1. Простая модель псевдощелевого состояния

Будем рассматривать одномерное движение электрона в периодическом поле вида

$$V(x) = 2D \cos(Qx + \phi), \quad (1)$$

где  $Q = 2p_F - k$ ;  $p_F$  — импульс Ферми;  $k \ll p_F$  — некоторая „отстройка“ от выделенного вектора рассеяния  $2p_F$ , подразумевающего несоизмеримый характер соответствующих флуктуаций. Электронный спектр выберем в линеаризованном вблизи уровня Ферми виде

$$\xi_1 \equiv \xi_p = v_F(|p| - p_F), \quad \xi_{p-2p_F} = -\xi_p \quad (\text{нестинг}),$$

$$\xi_2 \equiv \xi_{p-Q} = -\xi_p - v_F k \equiv -\xi_p - \eta, \quad (2)$$

где введена переменная  $\eta = v_F k$  ( $v_F$  — скорость Ферми), которая будет широко использоваться далее.

В двухволновом приближении обычной зонной теории одноэлектронные функции Грина, как диагональные, соответствующие переходу  $p \rightarrow p$  и  $p - Q \rightarrow p - Q$ , так и недиагональные, соответствующие перебору  $p \rightarrow p - Q$  и  $p - Q \rightarrow p$ , фактически образуют матрицу и в мацубаровском представлении имеют вид

$$g_{11} = \frac{i\varepsilon_n - \xi_2}{(i\varepsilon_n - \xi_1)(i\varepsilon_n - \xi_2) - D^2},$$

$$g_{12} = \frac{De^{-i\phi}}{(i\varepsilon_n - \xi_1)(i\varepsilon_n - \xi_2) - D^2},$$

$$g_{21} = \frac{De^{i\phi}}{(i\varepsilon_n - \xi_1)(i\varepsilon_n - \xi_2) - D^2},$$

$$g_{22} = \frac{i\varepsilon_n - \xi_1}{(i\varepsilon_n - \xi_1)(i\varepsilon_n - \xi_2) - D^2}. \quad (3)$$

В дальнейшем будем рассматривать весьма специфическую модель беспорядка [9], в которой случайным считается вектор  $k$  отстройки, причем его функция распределения задается в виде лоренциана<sup>1</sup>

$$\mathcal{P}_k(k) = \frac{1}{\pi} \frac{\kappa}{k^2 + \kappa^2}, \quad (4)$$

соответствующее распределение для переменной  $\eta$

$$\mathcal{P}_\eta(\eta) = \frac{1}{\pi} \frac{v_F \kappa}{\eta^2 + (v_F \kappa)^2}, \quad (5)$$

где  $\kappa \equiv \xi_{\text{сост}}^{-1}$ . Фаза  $\phi$  в (1) также считается случайной и распределенной однородно на интервале от 0 до  $2\pi$ ,

$$\mathcal{P}_\phi(\phi) = \begin{cases} \frac{1}{2\pi}, & 0 \leq \phi \leq 2\pi, \\ 0 & \text{для остальных значений.} \end{cases} \quad (6)$$

<sup>1</sup> Фактически речь здесь идет об определенной модели фазовых флуктуаций поля (1).

У поля (1) может флуктуировать не только фаза, но и амплитуда  $D$ . Распределение амплитуды выбираем в виде распределения Рэлея [8–10]

$$\mathcal{P}_D(D) = \frac{2D}{W^2} \exp\left(-\frac{D^2}{W^2}\right), \quad (7)$$

где  $W$  определяет энергетическую ширину псевдощели.

Если поле (1) создается флуктуациями какого-либо диэлектрического параметра порядка (например, CDW или AFM), то распределение (7) может соответствовать его гауссовым флуктуациям в области достаточно высоких температур [8,11,12]. При понижении температуры ниже некоторой характерной даже до появления в системе дальнего порядка флуктуации амплитуды вымораживаются (ср. [3,13]) и можно просто считать  $D = W$ , тогда как флуктуации фазы существуют вплоть до самых низких температур. Поэтому в дальнейшем будем рассматривать два режима диэлектрических флуктуаций: высокотемпературный, когда флуктуируют и амплитуда, и фаза; низкотемпературный, когда флуктуации амплитуды выморожены.

Фурье-образ корреляционной функции полей (1) в разных точках  $\langle V(x)V(x') \rangle$  в низкотемпературном режиме флуктуаций имеет вид характерного лоренциана, определяющего эффективное взаимодействие электрона с флуктуациями ближнего порядка [2],

$$V_{\text{eff}}(q) = 2D^2 \left\{ \frac{\kappa}{(q - 2p_F)^2 + \kappa^2} + \frac{\kappa}{(q + 2p_F)^2 + \kappa^2} \right\}. \quad (8)$$

В высокотемпературном режиме учет флуктуаций амплитуды приводит лишь к замене в (8)  $D$  на  $W$ . Случайное поле именно с такой корреляционной функцией рассматривалось в ряде работ [8,10–12,14] по диэлектрической псевдощели. Однако там предполагалось, что это поле является гауссовым. Рассматриваемое здесь случайное поле  $V(x)$  гауссовым в общем случае не является [9].

Функция Грина в такой модели определяется усреднением  $g_{11}$  с распределениями (4) и (6) в низкотемпературном режиме флуктуаций [7,9], что дает

$$G(i\varepsilon_n, p) = \frac{i\varepsilon_n + \xi_p + iv_F \kappa}{(i\varepsilon_n - \xi_p)(i\varepsilon_n + \xi_p + iv_F \kappa) - D^2}, \quad (9)$$

и дополнительным усреднением по амплитуде с распределением (7) в высокотемпературном режиме

$$G(i\varepsilon_n, p) = \int_0^\infty dD \mathcal{P}_D(D) \times \frac{i\varepsilon_n + \xi_p + iv_F \kappa}{(i\varepsilon_n - \xi_p)(i\varepsilon_n + \xi_p + iv_F \kappa) - D^2}. \quad (10)$$

В пределе больших корреляционных длин флуктуаций поля (1), т.е. при  $\xi_{\text{сорт}} \rightarrow \infty$  ( $\kappa \rightarrow 0$ ), решение (10) совпадает с найденным в работах [8] для случая гауссова случайного поля. В [9,12] было показано, что плотность состояний, соответствующая функции Грина (10), обладает характерной размытой псевдощелью в окрестности уровня Ферми, причем значения плотности состояний количественно весьма близки [9,12,15] (для несоизмеримого случая практически при всех энергиях) к значениям, найденным в [10], а также к результатам точного численного моделирования задачи с гауссовым случайным полем, проведенного в [16–18].

Обобщение на случай двумерной электронной системы, характерной для ВТСП-купратов, может быть проведено в модели поверхности Ферми с горячими участками, рассматривавшейся в работах [4–6]. При этом предполагается, что в системе существуют две независимые системы флуктуаций типа (1), ориентированные вдоль ортогональных осей  $x$  и  $y$ , с которыми сильно взаимодействуют только электроны с плоских (горячих) участков двумерной поверхности Ферми, ортогональных этим осям. Двумерный потенциал, в котором движется электрон, считаем факторизованным по этим направлениям:  $V(x, y) = V(x)V(y)$  [4–6]. В такой модели различные характеристики, определяющиеся интегралами по поверхности Ферми, состоят из аддитивных вкладов горячих и холодных участков. Псевдощелевая перестройка электронного спектра происходит лишь на горячих участках, относительная доля которых на поверхности Ферми составляет  $\alpha$ , тогда как на холодных участках, относительная доля которых равна  $1 - \alpha$ , сохраняется ферми-жидкостное поведение [2].

Эта картина находится в качественном согласии с многочисленными ARPES-экспериментами на недодопированных ВТСП-купратах [1,2], которые показывают, что псевдощелевые аномалии возникают в окрестности точки  $(0, \pi)$  в зоне Бриллюэна и исчезают при переходе к ее диагонали. Наличие плоских участков на поверхности Ферми ВТСП-купратов также достаточно надежно наблюдалось в ARPES-экспериментах нескольких независимых групп [2].

## 2. Сверхпроводимость в псевдощелевом состоянии

В работе [7] анализировалась сверхпроводимость в рассматриваемой модели псевдощелевого состояния. В дальнейшем изложении будем в основном придерживаться подхода этой работы. Рассмотрение сверхпроводимости в системе с псевдощелью, вызванной флуктуациями ближнего порядка диэлектрического типа, будем вести в рамках простейшего предположения о наличии взаимодействия типа БКШ, которое, как обычно, считается константой  $V$  в слое шириной  $2\omega_c$  в окрестности уровня Ферми ( $\omega_c$  — характерная частота квантов, обеспечивающих притяжение электронов). В настоящей

работе, как и в [7], ограничимся рассмотрением только спаривания  $s$ -типа. Анализ случая  $d$ -спаривания, характерного для ВТСП-купратов, принципиальных трудностей не вызывает, однако наличие в этом случае угловой зависимости (анизотропии) сверхпроводящей щели приводит [4,5] к необходимости дополнительного интегрирования, что существенно увеличивает время численного счета, не меняя основных качественных выводов.

На холодных участках поверхности Ферми сверхпроводимость описывается стандартными уравнениями теории БКШ. Для горячих участков в работе [7] на функциях Грина (3) нормального состояния была построена система уравнений Горькова и получены нормальная и аномальная функции Грина при конкретной реализации случайного поля (1) (т.е. при определенных  $\eta$  и  $D$ )

$$G(\varepsilon_n, p) = -\frac{1}{\text{Det}} \left\{ (i\varepsilon_n + \xi_p) [\varepsilon_n^2 + (\xi_p + \eta)^2 + D^2 + \Delta^2] + D^2 \eta \right\},$$

$$F^+(\varepsilon_n, p) = -\frac{1}{\text{Det}} \Delta^* [\varepsilon_n^2 + (\xi_p + \eta)^2 + D^2 + \Delta^2], \quad (11)$$

где

$$\text{Det} = (\varepsilon_n^2 + \xi_p^2 + D^2 + \Delta^2)(\varepsilon_n^2 + (\xi_p + \eta)^2 + D^2 + \Delta^2) - \eta^2 D^2.$$

Сверхпроводящая щель определяется как обычно:

$$\Delta^* = VT \sum_{np} F^+(\varepsilon_n, p). \quad (12)$$

Из (11) и (12) получаем уравнение для сверхпроводящей щели  $\Delta(\eta, D)$  при фиксированных значениях  $\eta$  и  $D$  [7]

$$1 = 2\pi\lambda T \sum_{n=0}^{\left[\frac{\omega_c}{2\pi T}\right]} \left\{ \alpha \mathcal{F} + \frac{1-\alpha}{\tilde{\varepsilon}_n} \right\}, \quad (13)$$

где первое слагаемое соответствует вкладу горячих участков с относительной долей  $\alpha$ ,

$$\begin{aligned} \mathcal{F} &= \frac{1}{\pi\Delta^*} \int_{-\infty}^{\infty} d\xi_p F^+(\varepsilon_n, \xi_p) \\ &= \frac{1}{\sqrt{2}} \left\{ \sqrt{\left(\tilde{\varepsilon}_n^2 + D^2 + \frac{\eta^2}{4}\right)^2 - \eta^2 D^2 + \tilde{\varepsilon}_n^2 + D^2 - \frac{\eta^2}{4}} \right\}^{-1/2} \\ &\quad \times \left\{ 1 + \frac{\tilde{\varepsilon}_n^2 + D^2 + \frac{\eta^2}{4}}{\sqrt{\left(\tilde{\varepsilon}_n^2 + D^2 + \frac{\eta^2}{4}\right)^2 - \eta^2 D^2}} \right\}. \quad (14) \end{aligned}$$

Второе слагаемое в (13) дает стандартный вклад БКШ от холодных участков, составляющих долю  $1 - \alpha$  на поверхности Ферми;  $\lambda = N_0(0)V$  — безразмерная константа спаривательного взаимодействия ( $N_0(0)$  — плотность состояний свободных электронов на уровне Ферми);  $\tilde{\varepsilon}_n = \sqrt{\varepsilon_n^2 + \Delta^2}$ .

Полученная в явном виде численная зависимость  $\Delta(\eta, D)$  позволяет [7] найти усредненную с распределениями (5) и (для высокотемпературного режима флуктуаций) (7) сверхпроводящую щель  $\langle \Delta \rangle$ , не делая стандартного предположения о самоусредняемости сверхпроводящего параметра порядка.

В большинстве работ по сверхпроводимости в неупорядоченных системах рассмотрение ведется в предположении самоусредняемости, когда сверхпроводящая щель  $\Delta$  считается фактически величиной  $\Delta_{mf}$ , не зависящей от случайных характеристик поля (в нашей модели это  $\eta$  и  $D$ ). В этом случае среднеполевая щель<sup>2</sup>  $\Delta_{mf}$  определяется уравнением

$$\Delta_{mf}^* = VT \sum_{np} \langle F_{\Delta=\Delta_{mf}}^+(\varepsilon_n, p) \rangle. \quad (15)$$

Угловые скобки означают усреднение по  $\eta$  и  $D$  (в высокотемпературном режиме) с распределениями (5) и (7), а в выражении (11) для  $F^+(\varepsilon_n, p)$  полагаем, что  $\Delta$  равна  $\Delta_{mf}$ . Уравнения для  $\Delta_{mf}$  в обоих режимах флуктуаций для данной модели псевдощелевого состояния приведены в работе [7]. Там же показано, что усредненная по флуктуациям ближнего порядка сверхпроводящая щель  $\langle \Delta \rangle$  может существенно отличаться от среднеполевой  $\Delta_{mf}$ . В частности,  $\langle \Delta \rangle$  отлична от нуля и в области температур, превышающих среднеполевую температуру сверхпроводящего перехода  $T_c$ , соответствующую, согласно предположению, высказанному в работах [5,7], возникновению однородного сверхпроводящего состояния во всем образце. В области  $T > T_c$  сверхпроводящая фаза, по-видимому, может существовать в виде отдельных областей („капель“), возникающих из-за случайных флуктуаций локальной плотности электронных состояний.

Несамоусредняемость сверхпроводящего параметра порядка оказывает, как показано далее, существенное влияние на поведение в сверхпроводящей фазе электронной спектральной плотности и туннельной плотности состояний [5].

### 3. Спектральная плотность и плотность состояний

Спектральная плотность определяется стандартным образом

$$A(E, \xi_p) = -\frac{1}{\pi} \text{Im} G^R(E, \xi_p). \quad (16)$$

В выражении (11) для нормальной функции Грина перейдем от мацубаровских частот к действительным  $i\varepsilon_n \rightarrow E + i\delta$ . Тогда в окрестности горячих участков

<sup>2</sup> Подчеркнем, что речь идет о среднеполевом приближении по отношению к усреднению по флуктуациям случайного поля. Среднеполевое приближение в обычном термодинамическом смысле используется нами во всех уравнениях, что подразумевается в рамках теории БКШ.

поверхности Ферми спектральная плотность для конкретных реализаций  $\eta$  и  $D$  имеет вид

$$A_{\eta D}(E, \xi_p) = -\text{sign}(E) \times \frac{(E + \xi_p)(-E^2 + (\xi_p + \eta)^2 + D^2 + \Delta^2) + D^2\eta}{2\eta\sqrt{(\xi_p + \eta/2)^2 + D^2}} \times \left[ \delta\left(\left(\sqrt{\left(\xi_p + \frac{\eta}{2}\right)^2 + D^2} + \frac{\eta}{2}\right)^2 + \Delta^2 - E^2\right) - \delta\left(\left(\sqrt{\left(\xi_p + \frac{\eta}{2}\right)^2 + D^2} - \frac{\eta}{2}\right)^2 + \Delta^2 - E^2\right) \right]. \quad (17)$$

В низкотемпературном режиме диэлектрических флуктуаций, когда амплитуда диэлектрической щели заморожена, флуктуирует лишь фаза  $\eta$ , по которой необходимо провести усреднение с распределением (5). Усредненная спектральная плотность на поверхности Ферми ( $\xi_p = 0$ ) есть

$$A_D(E, 0) = - \int_{-\infty}^{\infty} d\eta \mathcal{P}_\eta(\eta) |E| \frac{-E^2 + \eta^2 + D^2 + \Delta^2}{2\eta\sqrt{(\eta/2)^2 + D^2}} \times \left[ \delta(f_+^2 - E^2) - \delta(f_-^2 - E^2) \right], \quad (18)$$

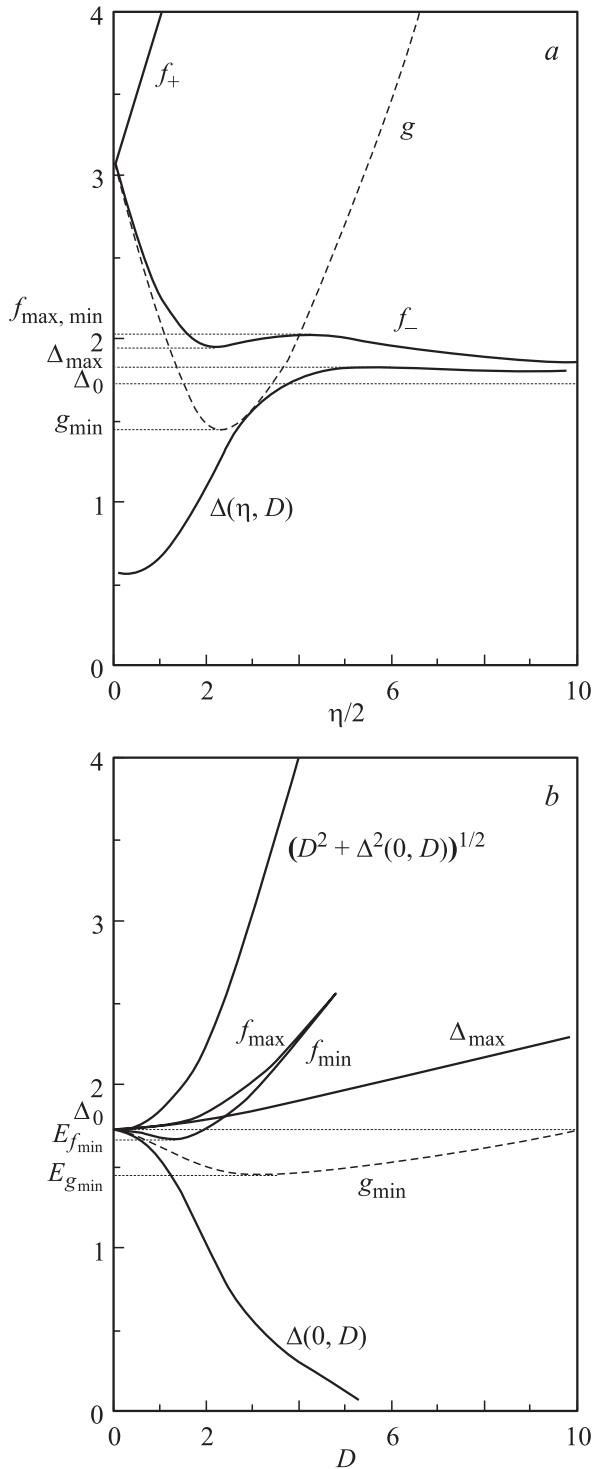
$$f_\pm^2 = \left( \sqrt{\left(\frac{\eta}{2}\right)^2 + D^2} \pm \frac{\eta}{2} \right)^2 + \Delta^2. \quad (19)$$

Следует учесть, что сама сверхпроводящая щель, входящая в (18), также флуктуирует, т.е. зависит от  $\eta$  и  $D$ . Зависимость  $\Delta(\eta, D)$  определяется численным образом из уравнения (13). При этом оказывается, что  $f_+$  растет с увеличением  $\eta$  для  $\eta > 0$  и минимальна при  $\eta = 0$  ( $f_+ = \sqrt{D^2 + \Delta^2(0, D)}$ ). Величина  $f_-$  падает с ростом  $\eta$  при  $\eta \ll D$  и  $\eta \gg D$ , однако может иметь локальный максимум  $f_{\max}$  при  $\eta/2 \sim D$ , соответствующих максимуму  $\Delta(\eta, D)$ . В этом случае функция  $f_-(\eta)$  имеет также минимум  $f_{\min}$ . На рис. 1, а приведены характерные зависимости  $f_+$ ,  $f_-$  и  $\Delta$  от  $\eta$  при фиксированных  $D$ , на рис. 1, б показаны зависимости  $f_{\max}$ ,  $f_{\min}$  и  $\sqrt{D^2 + \Delta^2(0, D)}$  от  $D$ .

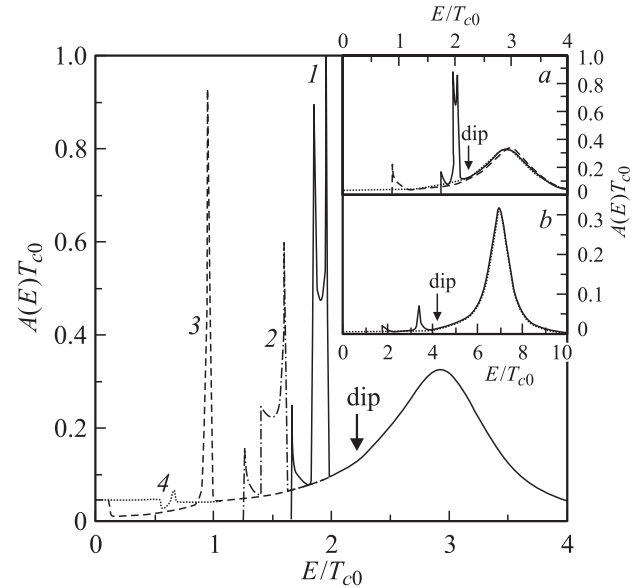
При  $E > \sqrt{D^2 + \Delta^2(0, D)}$  вклад в (18) вносит только первая  $\delta$ -функция, аргумент которой имеет единственный (в случае  $E > 0$ ) корень  $\eta_0$  ( $f_+(\eta_0) = E$ ), который находился численно

$$A_D(E, 0) = - |E| \frac{-E^2 + \eta_0^2 + D^2 + \Delta^2(\eta_0, D)}{\eta_0\sqrt{(\eta_0/2)^2 + D^2}} \times \frac{\mathcal{P}_\eta(\eta_0)}{\left| \frac{df_+^2}{d\eta} \right|_{\eta=\eta_0}}. \quad (20)$$

При  $E < \sqrt{D^2 + \Delta^2(0, D)}$  вклад в (18) вносит только вторая  $\delta$ -функция, которая может иметь несколько корней, если  $f_{\min} < E < f_{\max}$ , и вообще не иметь корней (при этом спектральная плотность равна нулю) при



**Рис. 1.** Зависимость характерных энергетических параметров от фазы  $\eta$  (a) и амплитуды  $D$  (b) случайного поля диэлектрических флуктуаций. Все энергетические величины приведены в единицах  $T_{c0}$ . При расчете принималось  $T/T_{c0} = 0.1$ ,  $\lambda = 0.2$ ,  $\alpha = 2/3$ .



**Рис. 2.** Спектральная плотность в низкотемпературном режиме диэлектрических флуктуаций.  $D/T_{c0} = 3$ ,  $v_F\kappa/T_{c0} = 1$ ,  $T_c/T_{c0} = 0.52$ .  $T/T_{c0} = 0.52$  (1), 0.8 (2), 1.01 (3), 1.05 (4). На вставке a:  $D/T_{c0} = 3$ ,  $v_F\kappa/T_{c0} = 1$ ,  $T/T_{c0} = 0.1$ ; штриховая линия — приближение самоусредняемости сверхпроводящей щели; пунктир (здесь и далее) — чисто псевдощелевое поведение в нормальной фазе. На вставке b:  $D/T_{c0} = 7$ ,  $v_F\kappa/T_{c0} = 1$ ,  $T/T_{c0} = 0.1$ .

$E < \min(f_{\min}; \Delta_0)$  ( $\Delta_0$  — щель в отсутствие диэлектрических флуктуаций),

$$A_D(E, 0) = -|E| \sum_i \frac{-E^2 + \eta_i^2 + D^2 + \Delta^2(\eta_i, D)}{\eta_0 \sqrt{(\eta_i/2)^2 + D^2}} \times \frac{\mathcal{P}_\eta(\eta_i)}{|df_-^2/d\eta|_{\eta=\eta_i}}, \quad (21)$$

$\eta_i$  — корни уравнения  $f_-(\eta) = E$ .

Следует отметить, что при  $E = f_{\min}$ ;  $f_{\max}$ ;  $\Delta_0$  спектральная плотность расходится, так как производная  $df_-^2/d\eta$ , стоящая в знаменателе (21), в точках максимума и минимума  $f_-$ , а также при  $\eta \rightarrow \infty$ , что соответствует  $E = \Delta_0$  (рис. 1, a), обращается в нуль.

Таким образом, в низкотемпературном режиме диэлектрических флуктуаций при достаточно малых амплитудах  $D$  (пока  $f_-(\eta)$  имеет минимум и максимум) в спектральной плотности, поведение которой показано<sup>3</sup> на рис. 2, имеются три пика, соответствующие  $E = f_{\min}$ ,  $f_{\max}$ ,  $\Delta_0$ . Один из пиков приходится на край щели в спектральной плотности, которая наблюдается при  $E < \min(f_{\min}; \Delta_0)$ . При достаточно больших  $D$  минимум и максимум  $f_-(\eta)$  пропадают (рис. 1, b) и расходимость в спектральной плотности наблюдается лишь у края щели при  $E = \Delta_0$ . Однако, хотя максимум на кривой  $f_-(\eta)$  и отсутствует, существенное

<sup>3</sup> Далее при расчетах принимается  $\lambda = 0.2$ ,  $\alpha = 2/3$ .

уменьшение  $df_-/d\eta$  при  $\eta$  вблизи максимума  $\Delta(\eta, D)$  остается, поэтому в спектральной плотности появляется существенный дополнительный пик (см. вставку *b* на рис. 2). При повышении температуры выше  $T_{c0}$  щель в спектральной плотности и пик, соответствующий  $E = \Delta_0$ , пропадают, но остается пик, соответствующий  $E = f_{\max}$ . При переходе через среднеполевую температуру сверхпроводящего перехода  $T_c$  поведение спектральной плотности качественно не изменяется.

В высокотемпературном режиме флуктуаций, когда существенны и флуктуации амплитуды диэлектрической щели  $D$ , по ним также необходимо произвести усреднение с распределением (7)

$$A(E, 0) = \int_0^\infty dD \mathcal{P}_D(D) A_D(E, 0). \quad (22)$$

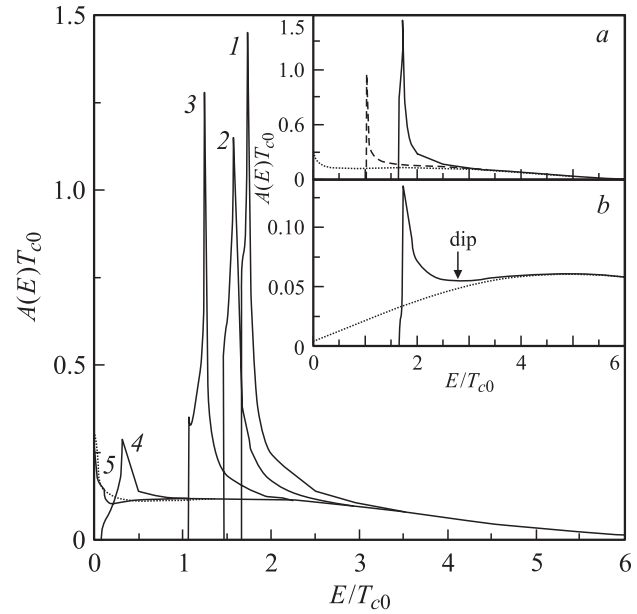
Поведение спектральной плотности в высокотемпературном режиме приведено на рис. 3. Щель в спектральной плотности имеет место при  $E < E_{f \min} < \Delta_0$ , где  $E_{f \min} = \min(f_{\min}(D))$  (рис. 1, *b*). При  $E = \Delta_0$  в спектральной плотности наблюдается расходимость, так как  $A_D(E, 0)$  расходится в этой точке при любом  $D$ . При увеличении температуры выше  $T_{c0}$  щель и пик в спектральной плотности пропадают, но незначительные отличия от чисто псевдощелевого поведения наблюдаются даже выше  $T_{c0}$ . В данной модели псевдощелевого состояния уменьшение корреляционной длины  $\xi_{\text{corr}}$  (увеличение  $\kappa$ ) приводит в высокотемпературном режиме флуктуаций к сильному размытию псевдощели в спектральной плотности, поэтому при выбранных для расчетов параметрах ( $W/T_{c0} = 3$ ,  $\kappa/T_{c0} = 1$  и соответственно  $T_c/T_{c0} = 0.61$ ) псевдощелевой максимум слабо выражен и сверхпроводящий пик накладывается на него. При увеличении ширины псевдощели и корреляционной длины возможна ситуация, когда сверхпроводящий пик и псевдощелевой максимум разнесены<sup>4</sup> (вставка *b* на рис. 3). В этом случае после главного пика спектральной плотности возникает характерный провал („dip“)<sup>5</sup>. Подобный провал наблюдался в ARPES-экспериментах [1,2], а его интерпретация до сих пор вызывает дискуссии.

В предположении самоусредняемости сверхпроводящего параметра порядка сверхпроводящая щель не зависит от случайных параметров  $\eta$  и  $D$  и равна среднеполевой щели  $\Delta_{\text{mf}}$ , полученной из уравнения (15) в работе [7]. Выполнив в (18) в интеграле по  $\eta$  со второй  $\delta$ -функцией замену переменных  $\eta \rightarrow -\eta$ , получаем под интегралом одну  $\delta$ -функцию  $\delta(f_+^2 - E^2)$ , единственный корень которой есть

$$\eta = \frac{E^2 - \Delta_{\text{mf}}^2 - D^2}{\sqrt{E^2 - \Delta_{\text{mf}}^2}}. \quad (23)$$

<sup>4</sup> В данной модели псевдощели подобное поведение наблюдается при параметрах ( $W/T_{c0} = 7$ ,  $\kappa/T_{c0} = 0.1$ ), приводящих к нереалистично сильному подавлению критической температуры ( $T_c/T_{c0} \approx 0.1$ ).

<sup>5</sup> В низкотемпературном режиме диэлектрических флуктуаций соответствующий провал в спектральной плотности (рис. 2) выражен даже более ярко, однако появляется несколько пиков, не наблюдаемых в ARPES-экспериментах.



**Рис. 3.** Спектральная плотность в высокотемпературном режиме диэлектрических флуктуаций.  $W/T_{c0} = 3$ ,  $\kappa/T_{c0} = 1$ ,  $T_c/T_{c0} = 0.61$ .  $T/T_{c0} = 0.1$  (1), 0.61 (2), 0.8 (3), 0.99 (4), 1.01 (5). На вставке *a*:  $W/T_{c0} = 3$ ,  $v_F\kappa/T_{c0} = 1$ ,  $T/T_{c0} = 0.1$ ; штриховая линия — приближение самоусредняемости сверхпроводящей щели. На вставке *b*:  $W/T_{c0} = 7$ ,  $v_F\kappa/T_{c0} = 0.1$ ,  $T/T_{c0} = 0.1$ .

Тогда в предположении самоусредняемости сверхпроводящего параметра порядка в низкотемпературном режиме флуктуаций спектральная плотность примет вид

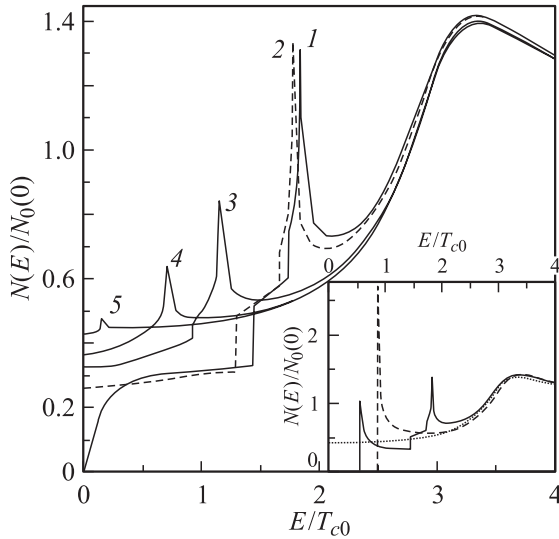
$$A_{D\text{mf}}(E, 0) = \frac{1}{\pi} \frac{\kappa}{(E^2 - \Delta_{\text{mf}}^2 - D^2)^2 + \kappa^2(E^2 - \Delta_{\text{mf}}^2)} \times \frac{|E|D^2}{\sqrt{E^2 - \Delta_{\text{mf}}^2}}. \quad (24)$$

В высокотемпературном режиме флуктуаций необходимо произвести усреднение и по случайной амплитуде  $D$

$$A_{\text{mf}}(E, 0) = \int_0^\infty dD \mathcal{P}_D(D) A_{D\text{mf}}(E, 0). \quad (25)$$

Поведение спектральной плотности при стандартном предположении самоусредняемости сверхпроводящей щели в низко- и высокотемпературном режимах диэлектрических флуктуаций приведено на вставках *a* на рис. 2 и 3 соответственно. Учет флуктуаций сверхпроводящей щели приводит к существенному изменению поведения спектральной плотности в обоих режимах.

Плотность состояний в данной модели состоит из аддитивных вкладов от холодных и горячих участков. При конкретной реализации случайного поля ( $\eta$  и  $D$ )



**Рис. 4.** Плотность состояний в низкотемпературном режиме диэлектрических флуктуаций.  $D/T_{c0} = 3$ ,  $v_F\kappa/T_{c0} = 1$ ,  $T_{cc}/T_{c0} = 0.33$ ,  $T_c/T_{c0} = 0.52$ .  $T/T_{c0} = 0.33$  (1), 0.52 (2), 0.9 (3), 1 (4), 1.01 (5). На вставке:  $D/T_{c0} = 3$ ,  $v_F\kappa/T_{c0} = 1$ ,  $T/T_{c0} = 0.1$ ; штриховая линия — приближение самоусредняемости сверхпроводящей щели.

плотность состояний имеет вид

$$N_{\eta D}(E) = -\frac{1}{\pi} \sum_p \text{Im} G^R = \alpha N_0(0) \times \int_{-\infty}^{\infty} d\xi_p A_{\eta D}(E, \xi_p) + (1 - \alpha) N_{\text{BCS}}(E). \quad (26)$$

На холодных участках, доля которых составляет  $1 - \alpha$ , взаимодействия с диэлектрическими флуктуациями нет. Нормальная функция Грина и вклад в плотность состояний  $N_{\text{BCS}}(E)$  имеют стандартный для БКШ вид со щелью, зависящей от  $\eta$  и  $D$ ,

$$N_{\text{BCS}}(E) = N_0(0) \frac{|E|}{\sqrt{E^2 - \Delta^2(\eta, D)}} \theta(E^2 - \Delta^2(\eta, D)). \quad (27)$$

На горячих участках  $A_D(E, \xi_p)$  определяется выражением (18). Интеграл по  $\xi_p$  в (26) берется, и в низкотемпературном режиме флуктуаций усредненная плотность состояний равна

$$\frac{N_D(E)}{N_0(0)} = \int_{-\infty}^{\infty} d\eta \mathcal{P}_{\eta}(\eta) \frac{|E|}{\tilde{\varepsilon}} \theta(E^2 - \Delta^2(\eta, D)) \times \left[ \alpha \frac{|\tilde{\varepsilon} + \eta/2|}{\sqrt{(\tilde{\varepsilon} + \eta/2)^2 - D^2}} \theta(|\tilde{\varepsilon} + \eta/2| - D) + (1 - \alpha) \right], \quad (28)$$

где  $\tilde{\varepsilon} = \sqrt{E^2 - \Delta^2(\eta, D)}$ .

Если предположить самоусредняемость сверхпроводящего параметра порядка (т.е.  $\Delta = \Delta_{\text{mf}}$  и не зависит

от  $\eta$  и  $D$ ), в низкотемпературном режиме флуктуаций выражение (28) можно переписать в виде

$$\frac{N_{D\text{mf}}(E)}{N_0(0)} = \frac{|E|}{\tilde{\varepsilon}} \theta(E^2 - \Delta_{\text{mf}}^2) \times \left[ \alpha \left( \int_{D-\tilde{\varepsilon}}^{\infty} d\eta \mathcal{P}_{\eta}(\eta) \frac{|\tilde{\varepsilon} + \eta/2|}{\sqrt{(\tilde{\varepsilon} + \eta/2)^2 - D^2}} + \int_{-\infty}^{-D-\tilde{\varepsilon}} d\eta \mathcal{P}_{\eta}(\eta) \frac{|\tilde{\varepsilon} + \eta/2|}{\sqrt{(\tilde{\varepsilon} + \eta/2)^2 - D^2}} \right) + 1 - \alpha \right], \quad (29)$$

где теперь  $\tilde{\varepsilon} = \sqrt{E^2 - \Delta_{\text{mf}}^2}$ .

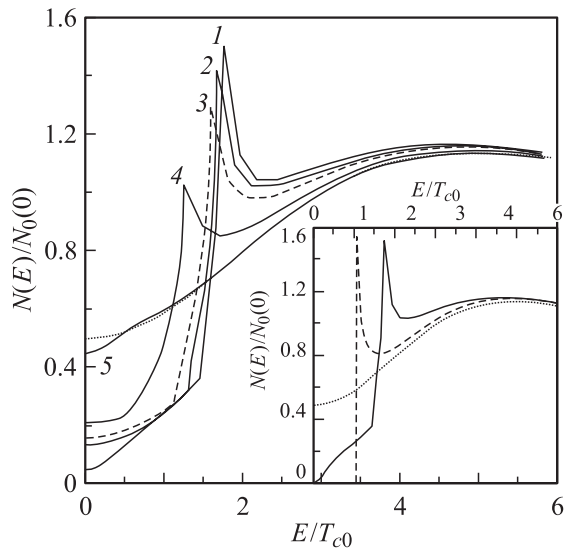
Поведение плотности состояний в низкотемпературном режиме диэлектрических флуктуаций приведено на рис. 4. Учет эффектов несомоусредняемости сверхпроводящего параметра порядка качественно изменяет поведение плотности состояний (см. вставку на рис. 4). Щель в плотности состояний наблюдается при  $E < \Delta(0, D) < \Delta_{\text{mf}}$ . Введем характерную температуру  $T_{cc}$ , соответствующую обращению в нуль  $\Delta(0, D)$ . При увеличении температуры выше  $T_{cc}$  щель в плотности состояний пропадает. Плотность состояний качественно не изменяется при переходе через среднеполевую температуру сверхпроводящего перехода  $T_c$ . Введем величину  $g(\eta) = \sqrt{(D - \eta/2)^2 + \Delta^2(\eta, D)}$ , поведение которой показано на рис. 1, а. Она имеет минимум  $g_{\text{min}}$  при  $\eta/2 \sim D$ . При  $\Delta(0, D) < E < \min(g_{\text{min}}; \Delta_0)$  вклад в плотность состояний вносят только холодные участки (второе слагаемое в (28)). Плотность состояний испытывает скачки при  $E = g_{\text{min}}$  и  $E = \Delta_0$ , которые пропадают при температурах выше  $T_{c0}$ . Пик плотности состояний имеет место при  $E = \Delta_{\text{max}} > g_{\text{min}}; \Delta_0$ , где  $\Delta_{\text{max}}$  — максимум  $\Delta(\eta)$ , наблюдающийся при  $\eta/2 \sim D$  (рис. 1, а). Таким образом, в низкотемпературном режиме флуктуаций сверхпроводящая щель, определенная по пикам в плотности состояний, будет соответствовать  $\Delta_{\text{max}} > \Delta_0 > \Delta_{\text{mf}}$  и пики в плотности состояний сохраняются даже при  $T > T_{c0}$ .

В высокотемпературном режиме диэлектрических флуктуаций необходимо провести усреднение и по амплитуде диэлектрической щели  $D$

$$\frac{N(E)}{N_0(0)} = \int_0^{\infty} dD \mathcal{P}_D(D) \frac{N_D(E)}{N_0(0)}. \quad (30)$$

В предположении самоусредняемости сверхпроводящего параметра порядка имеем

$$\frac{N_{\text{mf}}(E)}{N_0(0)} = \frac{|E|}{\tilde{\varepsilon}} \theta(E^2 - \Delta_{\text{mf}}^2) \left[ \alpha \int_{-\infty}^{\infty} d\eta \mathcal{P}_{\eta}(\eta) \times \int_0^{|\tilde{\varepsilon} + \eta/2|} dD \mathcal{P}_D(D) \frac{|\tilde{\varepsilon} + \eta/2|}{\sqrt{(\tilde{\varepsilon} + \eta/2)^2 - D^2}} + 1 - \alpha \right]. \quad (31)$$



**Рис. 5.** Плотность состояний в высокотемпературном режиме диэлектрических флуктуаций.  $W/T_{c0} = 3$ ,  $v_F\kappa/T_{c0} = 1$ ,  $T_c/T_{c0} = 0.61$ .  $T/T_{c0} = 0.2$  (1), 0.5 (2), 0.61 (3), 0.8 (4), 1.01 (5). На вставке:  $W/T_{c0} = 3$ ,  $v_F\kappa/T_{c0} = 1$ ,  $T/T_{c0} = 0.1$ ; штриховая линия — приближение самоусредняемости сверхпроводящей щели.

В пределе бесконечной корреляционной длины ( $\kappa \rightarrow 0$ ) выражения (30), (31) переходят в полученные в модели псевдощелевого состояния с бесконечной корреляционной длиной диэлектрических флуктуаций [5].

Поведение плотности состояний в высокотемпературном режиме диэлектрических флуктуаций приведено на рис. 5. Учет эффектов несомоусредняемости сверхпроводящего параметра порядка сильно сказывается на поведении плотности состояний (см. вставку на рис. 5). Щель в плотности состояний отсутствует<sup>6</sup> (хотя мы рассматриваем случай  $s$ -спаривания!). При  $E < E_{g\min} = \min(g_{\min}(D))$  (рис. 1,  $b$ ) вклад в плотность состояний вносят только холодные участки поверхности Ферми, и при  $E = E_{\min}$  (когда впервые появляется вклад от горячих участков) в плотности состояний наблюдается излом, связанный с особенностью выбранной модели поверхности Ферми (жесткое разделение на холодные и горячие участки). Максимум плотности состояний наблюдается при  $E = \Delta_0$ . Таким образом, ширина сверхпроводящей щели, определяемая по расстоянию между пиками плотности состояний, соответствует  $\Delta_0$ , а не  $\Delta_{mf}$ . Плотность состояний „не чувствует“ перехода через среднеполевую критическую температуру  $T_c$ , пики плотности состояний пропадают лишь при  $T = T_{c0} > T_c$ , а незначительные отличия от чисто псевдощелевой плотности состояний в нормальной фазе наблюдаются даже при  $T > T_{c0}$ .

Таким образом, в настоящей работе проведено изучение особенностей спектральной плотности и плотности

<sup>6</sup> Щель возникает лишь при очень низких температурах  $T < T_{c\infty} = T_{c0}$  ( $\tilde{\lambda} = \lambda(1 - \alpha)$ ), таких что  $\Delta(0, D \rightarrow \infty)$  отлична от нуля [5].

состояний сверхпроводника в рамках чрезвычайно упрощенной модели псевдощели в двумерной электронной системе, допускающей точное решение [7,9]. Основными достоинствами данной модели являются возможность учета эффектов несомоусредняемости сверхпроводящего параметра порядка, т. е. учета существенных флуктуирующей сверхпроводящей щели, наблюдающихся [5,7] в присутствии сильных флуктуаций диэлектрического ближнего порядка, а также возможность рассмотрения корреляционной длины ближнего порядка  $\xi_{\text{сорт}}$  произвольной величины (в отличие от  $\xi_{\text{сорт}} \rightarrow \infty$  в [5]).

Учет эффектов несомоусредняемости сверхпроводящего параметра порядка по случайному полю диэлектрических флуктуаций приводит к существенному изменению спектральной плотности и плотности состояний. Сверхпроводящие особенности у этих характеристик сохраняются в широкой области температур выше температуры  $T_c$  однородного по образцу сверхпроводящего перехода, где сверхпроводимость существует, по-видимому, в отдельных областях („каплях“) [5,7], возникающих из-за случайных флуктуаций локальной плотности электронных состояний. Полученные особенности коррелируют с рядом аномалий, наблюдавшихся в сверхпроводящем состоянии недодопированных ВТСП-купратов.

Автор признателен М.В. Садовскому за многочисленные обсуждения и помощь в работе.

## Список литературы

- [1] T. Timusk, B. Statt. Rep. Progr. Phys. **62**, 1, 61 (1999).
- [2] М.В. Садовский. УФН. **171**, 5, 539 (2001).
- [3] V.M. Loktev, R.M. Quick, S.G. Sharapov. Phys. Rep. **349**, 1, 2 (2001).
- [4] А.И. Посаженикова, М.В. Садовский. ЖЭТФ **115**, 2, 632 (1999).
- [5] Э.З. Кучинский, М.В. Садовский. ЖЭТФ **117**, 3, 613 (2000); Physica C **341-348**, 879 (2000).
- [6] Э.З. Кучинский, М.В. Садовский. ЖЭТФ **119**, 3, 553 (2001).
- [7] Э.З. Кучинский, М.В. Садовский. ЖЭТФ **121**, 3, 758 (2002).
- [8] М.В. Садовский. ЖЭТФ **66**, 5, 1720 (1974); ФТТ **16**, 9, 2504 (1974).
- [9] L. Bartosch, P. Kopietz. Eur. Phys. J. B **17**, 4, 555 (2000).
- [10] М.В. Садовский. ЖЭТФ **77**, 5 (11), 2070 (1979).
- [11] J. Schmalian, D. Pines, B. Stojkovic. Phys. Rev. Lett. **80**, 3839 (1998); Phys. Rev. B **60**, 1, 667 (1999).
- [12] Э.З. Кучинский, М.В. Садовский. ЖЭТФ **115**, 5, 1765 (1999).
- [13] С.А. Бразовский, И.Е. Дзялошинский. ЖЭТФ **71**, 6, 2338 (1976).
- [14] P.A. Lee, T.M. Rice, P.W. Anderson. Phys. Rev. Lett. **31**, 7, 462 (1973).
- [15] M.V. Sadvskii. Physica C **341-348**, 811 (2000).
- [16] L. Bartosch, P. Kopietz. Phys. Rev. B **60**, 23, 15488 (1999).
- [17] L. Bartosch. Ann. Phys. **10**, 3, 799 (2001).
- [18] A.J. Millis, H. Monien. Phys. Rev. B **61**, 18, 12496 (2000).